

---

# 60/102 NBCA에 기반을 둔 확장그래프들과 그 응용

김한두\* · 조성진\*\* · 최언숙\*\*\*

Expander graphs based on 60/102 NBCA and its application

Han-Doo Kim\* · Sung-Jin Cho\*\* · Un-Sook Choi\*\*\*

---

이 논문은 2010년도 정부재원(교육과학기술부 인문사회연구역량강화사업비)으로 한국연구재단의 지원을 받아 연구되었음(NRT-2010-B00008)

---

## 요 약

확장그래프는 통신망의 설계와 분석에 유용하다. Mukhopadhyay 등은 nongroup two predecessor single attractor CA(Cellular Automata; 이하 CA)에 기반을 둔 한 부류의 확장그래프들을 생성하는 방법을 소개했다. 본 논문에서는 group CA인 60/102 Null Boundary CA(NBCA)에 기반을 둔 한 부류의 확장그래프들을 생성하는 방법을 제안한다. 본 논문에서 제안된 방법에 의해 생성된 spectral gap은 Mukhopadhyay 등[12]에 의해 생성된 spectral gap보다 크다. 제안된 확장그래프들의 조합적 성질에 기반을 둔 일방향 함수들을 생성하는 알고리즘을 제안한다. 60/102 NBCA에 의해 생성된  $d$ -정규 그래프를 이용한 일방향함수는 Goldreich의 방법[5]에 기반을 두고 있다.

## ABSTRACT

Expander graphs are useful in the design and analysis of communication networks. Mukhopadhyay et. al introduced a method to generate a family of expander graphs based on nongroup two predecessor single attractor CA(Cellular Automata). In this paper we propose a method to generate a family of expander graphs based on 60/102 Null boundary CA(NBCA) which is a group CA. The spectral gap generated by our method is larger than that of Mukhopadhyay et. al [12]. As an application we give an algorithm which generate one-way functions whose security lies on the combinatorial properties of our expander graphs. the one-way function using  $d$ -regular graph generated by the 60/102 NBCA is based on the Goldreich's construction [5].

## 키워드

확장그래프, 60/102 NBCA, 일방향함수, 인접행렬, 이분그래프, 보안

## Key word

expander graph, 60/102 NBCA, one-way function, adjacency matrix, bipartite graph, security

---

\* 정회원 : 인제대학교 (mathkhd@inje.ac.kr), 기초과학연구소  
\*\* 종신회원 : 부경대학교 (교신저자, sjcho@pknu.ac.kr)  
\*\*\* 정회원 : 동명대학교

접수일자 : 2011. 05. 03  
심사완료일자 : 2011. 06. 22

## I. 서 론

확장그래프들은 Pinsker[1]에 의해 처음 정의되었고, 1970년대 초 Pinsker에 의해 존재성이 처음으로 증명되었다. 또한 확장그래프들은 정수론과 계산복잡도의 여러 문제를 해결하는 도구로서 뿐만 아니라 오류정정부호이론, 의사소수이론 분야에서 유용하다([2]~[4]).

Goldreich[5]는 확장그래프와 같은 조합적 구성 방법을 이용한 일방향함수를 제안했다. 일방향함수는 안전한 통신에서 중요한 분야인 키 교환 알고리즘에서 중요하다. Diffie-Hellman 키 교환 알고리즘[6]은 안전한 키 분배 문제 방법을 제시하고 있다. 확장그래프는 통신 네트워크의 설계 및 분석에 유용하다. Mukhopadhyay 등은 직전자(predecessor)가 2개이고 끌개(attractor)가 1개인 nongroup CA에 기반을 둔 한 부류의 확장그래프를 생성하기 위한 한 방법을 제안했다. 본 논문에서 group CA인 60/102 Null Boundary CA(NBCA)에 기반을 둔 한 부류의 확장그래프를 생성하는 방법을 제안한다. 제안된 방법에 의해 생성된 확장그래프의 스펙트럴 갭(spectral gap)은 Mukhopadhyay 등에 의해 생성된 확장그래프의 스펙트럴 갭보다 크다. 본 논문에서 제안된 방법은 적은 저장 공간으로 좋은 확장 성질을 갖는 정규그래프를 생성하기 위하여 60/102 NBCA([7]~[9])의 간단하고, 규칙적이며, 작은 단위로 확장 연결이 가능한 구조를 이용한다는 것이 장점이다. 한 가지 응용분야로 확장그래프의 조합적 성질들에 보안성이 의존하는 일방향함수들을 생성하는 알고리즘을 제안한다. 60/102 NBCA에 의해 생성된  $d$ -정규그래프를 이용한 일방향함수는 Goldreich의 구성 방법[5]에 기반을 두고 있다.

## II. 기본 개념

비형식적으로 확장그래프는 꼭지점의 모든 부분집합  $S$ 가 여집합  $\bar{S} = V - S$ 의 많은 꼭지점에 연결된다는 점에서 빠르게 확장되는 그래프  $G = (V, E)$ 이다.

<정의 2.1> ([10])  $G = (V, E)$ 는 꼭지점이  $n$ 개인 확장그래프이다.  $V$ 의 부분집합  $S$ 에 대하여  $S$ 의 변경계(edge boundary)  $\partial S$ 는  $S$ 의 꼭지점과  $\bar{S}$ 의 꼭지점을 연결

하는 변들의 집합이다.  $G$ 의 확장매개변수(expansion parameter)  $h(G)$ 는 다음과 같다.

$$h(G) = \min \left\{ \frac{|\partial S|}{|S|} \mid |S| \leq \frac{n}{2} \right\}$$

단,  $|X|$ 는 집합  $X$ 의 원소의 개수이다.

<예제 2.2>  $G = (V, E)$ 는 꼭지점이  $n$ 개인 완전그래프이고  $S \subseteq V$ 라 하자. 그러면  $S$ 의 임의의 꼭지점은  $\bar{S}$ 의 모든 꼭지점과 연결되어 있으므로

$|\partial S| = |S| \times |\bar{S}| = |S|(n - |S|)$ 이다. 그러므로  $G$ 의 확장매개변수는 다음과 같다.

$$h(G) = \min \left\{ n - |S| \mid |S| \leq \frac{n}{2} \right\} = \lceil n/2 \rceil$$

단,  $\lceil x \rceil$ 는  $x$ 보다 작지 않은 최소 정수이다.

<예제 2.3>  $G = (V, E)$ 는 꼭지점이  $n$ 개인  $d$ -정규 그래프이고  $S \subseteq V$ 라 하자.  $S$ 의 꼭지점의 개수가  $\frac{n}{2}$

이하라 하자. 그러면  $S$ 의 한 꼭지점은  $\bar{S}$ 의  $d \times |\bar{S}|/n$ 개 꼭지점과 연결되어 있으므로  $|\partial S|/|S| \approx d|\bar{S}|/n$ 이다.  $|\bar{S}|$ 의 최소값은 대략  $n/2$ 이므로 꼭지점의 개수  $n$ 과 상관 없이  $h(G) \approx d/2$ 가 성립한다.

<정의 2.4> 그래프  $G$ 의 인접행렬(adjacency matrix)  $A(G) = (b_{ij})$ 는  $|V| \times |V|$  행렬이고,  $b_{ij}$ 는 다음과 같다.

$$b_{ij} = \begin{cases} 1, & i\text{번째 꼭지점과 } j\text{번째 꼭지점 사이에 변이 있다.} \\ 0, & i\text{번째 꼭지점과 } j\text{번째 꼭지점 사이에 변이 없다.} \end{cases}$$

인접행렬  $A(G)$ 의 고유스펙트럼(eigenvalue spectrum)의 성질들을 이용하여 그래프  $G$ 의 성질들을 이해할 수 있다.  $A(G)$ 의 고유스펙트럼을 그래프  $G$ 의 스펙트럼이라고 하겠다. 고유스펙트럼과 최대 고유값, 최소 고유값, 행렬식, 트레이스와 같은 성질들은 빠르게 계산이 가능하므로 유용하다[10].

$G = (V, E)$ 는 비방향그래프이고  $A(G)$ 는  $G$ 의 인접행렬이라고 한다. 그리고  $\lambda_i(A(G))$  ( $1 \leq i \leq n$ )는  $A(G)$

의 고유값이라 한다. 그러면  $A(G)$ 는 실대칭행렬이므로 대각화가 가능하다. 일반성을 잃지 않고 다음과 같이 가정할 수 있다.

$$\lambda_1(A(G)) \geq \lambda_2(A(G)) \geq \dots \geq \lambda_n(A(G))$$

$C$ 는 상태전이행렬이  $T$ 인 CA이고  $C'$ 는 상태전이 연산자가  $\bar{T}$ 인  $C$ 로부터 유도된 여원(complemented) CA라 하자. 그리고  $\bar{T}^p$ 는  $\bar{T}$ 를  $p$ 번 적용한 연산자라 하자. XNOR 규칙이 적용되는 위치의 성분이 1이고 XNOR 규칙이 적용되지 않는 위치의 성분이 0인 벡터를  $F$ 라 하고 이를 여원벡터라 할 때, 여원 CA의 다음 상태를 구하는 식은  $\bar{T}x = Tx \oplus F$ 이고  $\bar{T}^p x = [I \oplus T \oplus T^2 \oplus \dots \oplus T^{p-1}]F \oplus T^p(x)$ 이다.

$$A(G) = \begin{pmatrix} 0 & 1 & 0 & 1 & 2 & 0 & 0 & 0 \\ 1 & 0 & 1 & 0 & 0 & 0 & 0 & 2 \\ 0 & 1 & 0 & 1 & 0 & 0 & 2 & 0 \\ 1 & 0 & 1 & 0 & 0 & 2 & 0 & 0 \\ 2 & 0 & 0 & 0 & 1 & 0 & 1 & 0 \\ 0 & 0 & 0 & 2 & 1 & 0 & 1 & 0 \\ 0 & 0 & 2 & 0 & 0 & 1 & 0 & 1 \\ 0 & 2 & 0 & 0 & 1 & 0 & 1 & 0 \end{pmatrix}$$

그러면 다음이 성립한다.

$$\lambda_1(A(G)) = 4, \lambda_2(A(G)) = \lambda_3(A(G)) = 2, \lambda_4(A(G)) =$$

$$\lambda_5(A(G)) = 0, \lambda_6(A(G)) = \lambda_7(A(G)) = -2,$$

$\lambda_8(A(G)) = -4$ . 더욱이  $\Delta(G) = 4 - 2 = 2$ 이므로  $1 \leq h(G) \leq 4$ 이다.  $\lambda_1(A(G)) > \lambda_2(A(G))$ 이고  $\lambda_i(A(G)) = -\lambda_{9-i}(A(G))$  ( $i = 1, 2, \dots, 8$ )이므로  $G$ 는 연결그래프이고 이분그래프이다.

### III. 고유 스펙트럼의 성질

이 절에서 비방향그래프  $G$ 의 인접행렬  $A(G)$ 의 고유 스펙트럼의 성질들을 조사한다. 다음 정리들은 잘 알려져 있다.

<정리 3.1>  $G$ 가 비방향  $d$ -정규그래프일 때  $\lambda_1(A(G)) = d$ 이다.

<정리 3.2>  $G$ 가 비방향  $d$ -정규그래프일 때  $G$ 가 연결그래프일 필요충분조건은  $\lambda_1(A(G)) > \lambda_2(A(G))$ 이다.

<정리 3.3>  $G$ 가 비방향  $d$ -정규그래프일 때  $G$ 가 이분그래프(bipartite graph)일 필요충분조건은  $\lambda_i(A(G)) = -\lambda_{n+1-i}(A(G))$  ( $i = 1, 2, \dots, n$ )이다.

<정의 3.4>  $d$ -정규그래프  $G$ 의 갭(gap)  $\Delta(G)$ 을  $\Delta(G) = d - \lambda_2(A(G))$ 로 정의한다.

<정리 3.5[11]>  $G$ 가  $\lambda_1(A(G)) \geq \lambda_2(A(G)) \geq \dots \geq \lambda_n(A(G))$ 을 만족하는  $d$ -정규그래프라 하자. 그러면  $\Delta(G)/2 \leq h(G) \leq \sqrt{2d\Delta(G)}$ 이다.

<예제 3.6> 비방향그래프  $G$ 의 인접행렬  $A(G)$ 이 다음과 같다고 하자.

### IV. 60/102 NBCA에 기반을 둔 확장그래프

이 절에서 60/102 NBCA를 이용하여 한 부류의 임의의  $d$ -정규그래프들을 구성한다.  $C$ 는 상태전이행렬  $T$ 가 다음과 같은  $n$ -셀 60/102 NBCA라 하자. 이후로 상태전이행렬  $T$ 는  $T = \langle 60, 102, \dots, 102 \rangle$ 를 나타낸다.

<정리 4.1[7]>  $T$ 의 특성다항식  $c(x)$ 는  $c(x) = (x+1)^n$ 이다.

<정리 4.2[7]>  $T$ 의 최소다항식  $m(x)$ 는  $m(x) = (x+1)^{n-1}$ 이다.

$m(x) = (x+1)^{n-1}$ 이므로 다음 정리가 성립한다. 정리 4.3의 증명은 [7]의 정리 3.4의 증명과 유사하다.

<정리 4.3>  $C$ 는 상태전이행렬이  $T$ 인  $n$ -셀 60/102 NBCA라 하자.  $C'$ 은 여원벡터(complemented vector)가  $(a_1, \dots, a_{n-1}, 1)^t$  ( $a_i \in \{0, 1\}, i = 1, 2, \dots, n-1$ )이고 상태전이연산자가  $\bar{T}$ 인  $C$ 로부터 유도된 여원 CA라고 하자. 단,  $x^t$ 는 벡터  $x$ 의 전치행렬이다.

$\text{ord}(T) = 2^a$  이면 다음이 성립한다.

- (a)  $C'$ 의 사이클들의 모든 길이는 같다.
- (b)  $ord(\bar{T}) = \begin{cases} 2^a & (2^{a-1} < n-1 < 2^a) \\ 2^{a+1} & (n-1 = 2^{a+1}) \end{cases}$

참고 A. 정리 4.3에 의하면  $C$ 의 상태전이는 어떤 끝개도 없다.

<예제 4.4>  $C$ 가 상태전이행렬이  $T = \langle 60, 102, 102 \rangle$ 인 3-셀 60/102NBC라 하자. 그러면  $C$ 의 상태전이는 다음과 같다.

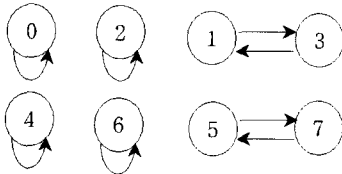


그림 1.  $C$ 의 상태전이  
Fig. 1. The state transition diagram of  $C$

$F_1 = (0,0,1)^t$ 라 하면 보조정리 2.5에 의하여  $\bar{T}0 = 1, \bar{T}1 = 2, \bar{T}2 = 3, \bar{T}3 = 0, \bar{T}4 = 5, \bar{T}5 = 6, \bar{T}6 = 7, \bar{T}7 = 4$ 이다. 그러면  $C$ 의 여원 벡터가  $F_1 = (0,0,1)^t$ 인 여원 CA  $C_1'$ 의 상태전이연산자  $\bar{T}$ 의 상태전지도표  $G_1$ 을 얻는다.  $ord(\bar{T}) = 2 \cdot ord(T) = 2 \cdot 2 = 4$ 이고, 정리 4.3에 의해  $C$ 의 사이클들의 모든 길이가 똑같다.

그림 2는 여원벡터가 각각  $F_1 = (0,0,1)^t, F_2 = (1,1,1)^t$ 인 여원 CA의 상태전지도표  $G_1, G_2$ 를 보여준다.  $8 \times 8$  인접행렬  $A(G_1), A(G_2)$ 은 예제 4.4에서와 같이 다음과 같다.

$$A(G_1) = \begin{pmatrix} 01010000 \\ 10100000 \\ 01010000 \\ 10100000 \\ 00000101 \\ 00001010 \\ 00000101 \\ 00001010 \end{pmatrix}, A(G_2) = \begin{pmatrix} 00000101 \\ 00001010 \\ 00000101 \\ 00001010 \\ 01010000 \\ 10100000 \\ 01010000 \\ 10100000 \end{pmatrix}$$

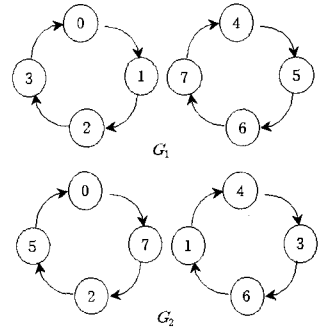


그림 2.  $F_1 = (0,0,1)^t (F_2 = (1,1,1)^t)$ 인 여원 CA의 상태전이  $G_1$  (또는  $G_2$ )

Fig. 2. The state transition diagram  $G_1$  (resp.  $G_2$ ) of the complemented CA with  $F_1 = (0,0,1)^t$  (resp.  $F_2 = (1,1,1)^t$ )

$G$ 는 두 그래프  $G_1$ 과  $G_2$ 의 합그래프이다. 그러면  $A(G)$ 는 다음과 같다.

$$A(G) = \begin{pmatrix} 01010101 \\ 10101010 \\ 01010101 \\ 10101010 \\ 01010101 \\ 10101010 \\ 01010101 \\ 10101010 \end{pmatrix}$$

$A(G)$ 의 특성다항식은  $x^6(x-4)(x+4)$ 이다. 그러므로  $A(G)$ 의 고유값은  $\lambda_1 = 4, \lambda_2 = \dots = \lambda_5 = 0, \lambda_6 = -4$ 이다. 그러므로 정리 3.2와 정리 3.3에 의하여  $G$ 는 연결 이분그래프이다. 그림 3은 인접행렬이  $A(G)$ 인 그래프  $G$ 이다.

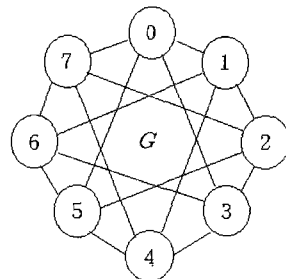


그림 3. 그래프  $G$   
Fig. 3. The graph  $G$

<정리 4.5>  $C$ 는 상태전이행렬이  $T$ 인 60/102 NBCA이고  $C_1'$ (또는  $C_2'$ )은 여원벡터가  $F_1 = (0, *, \dots, *, 1)^t$ , ( $F_2 = (1, *, \dots, *, 1)^t$ )인  $C$ 로부터 유도된 여원 CA라 하자. 또한  $\overline{T_1}X = TX \oplus F_1$ ,  $\overline{T_2}X = TX \oplus F_2$ 라 하자.

$G_1$ (또는  $G_2$ )는  $C_1'$ (또는  $C_2'$ )로부터 만들어진 그래프라 하고  $G$ 는 두 그래프  $G_1, G_2$ 의 합그래프라고 하자.

그러면  $G$ 는 이분 4-정규 그래프이다.

$$S = \{(x_1, x_2, \dots, x_n)^t \mid x_i \in \{0, 1\}\},$$

$$A_1 = \{(0, x_2, \dots, x_{n-1}, 0)^t \mid x_i \in \{0, 1\}\},$$

$$A_2 = \{(1, x_2, \dots, x_{n-1}, 0)^t \mid x_i \in \{0, 1\}\},$$

$$B_1 = \{(0, x_2, \dots, x_{n-1}, 1)^t \mid x_i \in \{0, 1\}\},$$

$$B_2 = \{(1, x_2, \dots, x_{n-1}, 1)^t \mid x_i \in \{0, 1\}\} \text{라 하고}$$

$$A = A_1 \cup A_2, B = B_1 \cup B_2 \text{라 하면 } A \cup B = S \text{이다.}$$

임의의  $X \in A_1$ 에 대하여

$$\overline{T_1}X = TX \oplus F_1$$

$$= (0, *, \dots, *, 0)^t \oplus (0, *, \dots, *, 1)^t$$

$$= (0, *, \dots, *, 1)^t \in B_1$$

$$\overline{T_2}X = TX \oplus F_2$$

$$= (0, *, \dots, *, 0)^t \oplus (1, *, \dots, *, 1)^t$$

$$= (1, *, \dots, *, 1)^t \in B_2$$

임의의  $X \in A_2$ 에 대하여

$$\overline{T_1}X = TX \oplus F_1$$

$$= (1, *, \dots, *, 0)^t \oplus (0, *, \dots, *, 1)^t$$

$$= (1, *, \dots, *, 1)^t \in B_2$$

$$\overline{T_2}X = TX \oplus F_2$$

$$= (1, *, \dots, *, 0)^t \oplus (1, *, \dots, *, 1)^t$$

$$= (0, *, \dots, *, 1)^t \in B_1$$

이와 유사하게 임의의  $Y \in B_1$ 에 대하여  $\overline{T_1}Y \in A_1, \overline{T_2}Y \in A_2$ 임을 보일 수 있다. 또한 임의의  $Y \in B_2$ 에 대하여  $\overline{T_1}Y \in A_2, \overline{T_2}Y \in A_1$ 임을 보일 수 있다.

표1은  $G_1$ 과  $G_2$ 의 합 그래프인  $G$ 의 고유 스펙트럼이다. 표1에서  $F_1 = (0, 0, 0, 0)^t, F_2 = (1, 1, 0, 0)^t$ 라 하자. 그러면  $A(G)$ 의 확장 스펙트럼은  $\lambda_1 = \lambda_2 = \lambda_3 = \lambda_4 = 4, \lambda_5 = \dots = \lambda_{14} = 0, \lambda_{15} = \lambda_{16} = -4$ 이다. 그러므로 이 경우 그래프  $G$ 는 이분 그래프가 아니고 비연결 그래프이다. 또한  $F_1 = (0, 0, 1, 1)^t, F_2 = (1, 0, 0, 1)^t$ 라 하면  $G$ 는 이분 그래프이다.

표 1.  $A(G)$ 의 고유 스펙트럼  
Table 1. The eigenvalue spectrum of  $A(G)$

첫 행(열)의 8개 벡터는 여원벡터  $F_1$ (또는  $F_2$ )

	0000	0010	0100	0110
1000	-4(2)	-4(1)	-4(2)	-4(1)
	0(10)	0(4)	0(10)	0(4)
1100	4(4)	2(4)	4(4)	2(4)
		4(3)		4(3)
1010	-4(1)	-4(2)	-4(1)	-4(2)
	-2(4)	-2(4)	-2(4)	-2(4)
	0(4)	0(10)	0(4)	0(10)
1110	2(4)	4(4)	2(4)	4(4)
	4(3)		4(3)	
1001	-2.8284(2)	-2.8284(2)	-2.8284(2)	-2.8284(2)
	-2(2)	-2(2)	-2(2)	-2(2)
1101	0(6)	0(6)	0(6)	0(6)
	2(2)	2(2)	2(2)	2(2)
1011	2.8284(2)	2.8284(2)	2.8284(2)	2.8284(2)
1111	4(2)	4(2)	4(2)	4(2)

	0001	0011	0101	0111
1000	-4(1)	-4(1)	-4(1)	-4(1)
	-2.8284(2)	-2.8284(2)	-2.8284(2)	-2.8284(2)
1100	-2(2)	-2(2)	-2(2)	-2(2)
	0(6)	0(6)	0(6)	0(6)
1010	2(2)	2(2)	2(2)	2(2)
	2.8284(2)	2.8284(2)	2.8284(2)	2.8284(2)
1110	4(1)	4(1)	4(1)	4(1)
1001	-4(2)	-4(1)	-4(2)	-4(1)
	0(12)	0(6)	0(12)	0(6)
1101	4(2)	2(4)	4(2)	2(4)
		4(1)		4(1)
1011	-4(1)	-4(2)	-4(1)	-4(2)
	-2(4)	-2(4)	-2(4)	-2(4)
	0(6)	0(12)	0(6)	0(12)
1111	2(4)	4(2)	2(4)	4(2)
	4(1)		4(1)	

<정리 4.6>  $C$ 는 상태전이행렬이  $T$ 인  $n$ 셀 60/102 NBCA이고  $x = (x_1, x_2, \dots, x_n)^t$ 는  $T$ 의 한 상태라 하자. 그러면  $x$ 의 직전자  $y = (y_1, y_2, \dots, y_n)^t$ 는 다음 식을 만족한다:

$$y_1 = x_1, y_n = x_n, y_k = x_k \oplus y_{k+1} \quad (k = 2, \dots, n-1)$$

(증명)  $C$ 의 상태전이행렬  $T=(t_{ij})$ 는 다음과 같다.

$$t_{ij} = \begin{cases} 1, & i=j \\ 1, & i=j-1 \quad (j=3, \dots, n) \\ 0, & \text{그밖의 경우} \end{cases}$$

그러면  $T^{-1} = \begin{pmatrix} I_1 & O \\ O & A \end{pmatrix}$ , 단  $A=(a_{ij})$ 는  $a_{ij} = \begin{cases} 1, & i \leq j \\ 0, & \text{그밖의 경우} \end{cases}$

이므로

$$y = T^{-1}x = \begin{pmatrix} 1 & 0 & 0 & \dots & 0 & 0 & 0 \\ 0 & 1 & 1 & \dots & 1 & 1 & 1 \\ 0 & 0 & 1 & \dots & 1 & 1 & 1 \\ \vdots & \vdots & \vdots & \ddots & \vdots & \vdots & \vdots \\ 0 & 0 & 0 & \dots & 1 & 1 & 1 \\ 0 & 0 & 0 & \dots & 0 & 1 & 1 \\ 0 & 0 & 0 & \dots & 0 & 0 & 1 \end{pmatrix} \begin{pmatrix} x_1 \\ x_2 \\ \vdots \\ x_n \end{pmatrix} = \begin{pmatrix} x_1 \\ x_2 \oplus x_3 \oplus \dots \oplus x_n \\ \vdots \\ x_{n-1} \oplus x_n \\ x_n \end{pmatrix}$$

이다. 따라서  $y_1 = x_1, y_n = x_n, y_k = x_k \oplus y_{k+1}$  ( $k=2, \dots, n-1$ )이 성립한다.

표2는 정규그래프에 기반을 둔 60/102 NBCA로 수행한 실험결과이다. 임의의 4차, 8차, 12차, 16차 60/102 NBCA에 기반을 둔 그래프들에 대한 두 가지 최대 고유값을 보여주고 있다. 실험결과에 의하면 스펙트럴 갭과 그리고 확장 매개변수가 합연산자( $t$ )의 개수에 비례하여 증가한다는 것을 보여준다. 표3은 우리 방법에 의한 스펙트럴 갭이 Mukhopadhyay의 방법에 의한 스펙트럴 갭보다 크다는 것을 보여준다[12].

표 2. 4-셀 60/102 NBCA에 기반을 둔 정규그래프의 스펙트럼  
Table 2. Spectrum of the 4-cell 60/102 NBCA based regular graph

합의 개수 ( $t$ )	여원 벡터	차수	첫째 고유값	둘째 고유값	스펙트럴 갭( $g$ )	$g/t$
1	1,15	4	4	2	2	2
3	1,3,9,15	8	8	4	1	1.33
5	1,3,5,9,11,15	12	12	2	10	2
7	1,3,5,7,9,11,13,15	16	16	0	16	2.2857

표 3. Mukhopadhyay의 스펙트럴 갭과 우리 방법에 의한 스펙트럴 갭의 비교

Table 3. Comparison of Mukhopadhyay's spectral gaps with our spectral gaps

합의 개수 ( $t$ )	$g/t$ (Mukhopadhyay의 방법)	$g/t$ (우리 방법)
1	0.76	2
3	1.03	1.33
5	1.14	2
7	1.54	2.2857

참고 B.  $T$ 의 역행렬

$$T^{-1} = \begin{pmatrix} 1 & 0 & 0 & \dots & 0 & 0 & 0 \\ 0 & 1 & 1 & \dots & 1 & 1 & 1 \\ 0 & 0 & 1 & \dots & 1 & 1 & 1 \\ \vdots & \vdots & \vdots & \ddots & \vdots & \vdots & \vdots \\ 0 & 0 & 0 & \dots & 1 & 1 & 1 \\ 0 & 0 & 0 & \dots & 0 & 1 & 1 \\ 0 & 0 & 0 & \dots & 0 & 0 & 1 \end{pmatrix}$$

을 구하기는 쉽다. 그러므로 직전자들을 얻는데 걸리는 시간은  $O(n)$ 이다. 주어진  $n$ -셀 60/102 NBCA에 대하여 최대 스펙트럴 갭들을 갖는  $d$ -정규그래프들의 구성은  $F_1$ 과  $F_2$  사이의 관계에 의존한다. 예를 들어 표1에서  $F_1 = (0,0,0,1)^t, F_2 = (1,1,1,1)^t$ 라 하면 스펙트럴 갭은 4-정규그래프에서 최대값인 2이다.

이제

$$F_{11} = \{(0, a_2, a_3, \dots, a_{n-1}, 0, 1) | a_i \in \{0, 1\}, i=2, \dots, n-2\},$$

$$F_{12} = \{(0, a_2, a_3, \dots, a_{n-1}, 1, 1) | a_i \in \{0, 1\}, i=2, \dots, n-2\},$$

$$F_{21} = \{(1, a_2, a_3, \dots, a_{n-1}, 0, 1) | a_i \in \{0, 1\}, i=2, \dots, n-2\},$$

$$F_{22} = \{(1, a_2, a_3, \dots, a_{n-1}, 0, 1) | a_i \in \{0, 1\}, i=2, \dots, n-2\}$$

이고  $K = (F_{11} \times F_{21}) \cup (F_{12} \times F_{22})$ 라 하자.

$(F_1, F_2) \in K$ 인 여원벡터  $F_1, F_2$ 를 선택하고  $G_1$  (또는  $G_2$ )를 여원벡터가  $F_1$ (또는  $F_2$ )인 그래프라 하자. 그러면 스펙트럴 갭이 최대인 확장그래프를 구성할 수 있다.

다음 표4의 알고리즘 A는 그래프  $G_1$ 과  $G_2$ 의 합그래프인  $G$ 의 한 꼭지점의 네 이웃 꼭지점을 계산하는 방법을 제시한다.

표 4. 알고리즘 A.  
Table 4. Algorithm A.

알고리즘 A.  $G$ 의 한 꼭지점의 네 이웃 꼭지점을 계산하는 방법  
 INPUT : 여원벡터  $(F_1, F_2) \in K$ 와 한 상태  $x \in G$   
 OUTPUT :  $x$ 의 네 이웃 꼭지점들( $S_1, S_2, P_1, P_2$ )  
 Step1: 연산자  $\overline{T}_1$ (또는  $\overline{T}_2$ )를 이용한  $x$ 의 다음 상태  $S_1$ (또는  $S_2$ )를 구한다.  

$$S_1 = \overline{T}_1 x = Tx \oplus F_1, \quad S_2 = \overline{T}_2 x = Tx \oplus F_2$$
 /\* Step2와 Step3에서 정리 4.6을 이용하여 직전자  $P_1$ (또는  $P_2$ )를 구한다. \*/  
 Step2:  $W := x \oplus F_1$ 와  $V := x \oplus F_2$ 를 계산한다.  
 Step3:  $W = (w_1, w_2, \dots, w_n)$ 와  $V = (v_1, v_2, \dots, v_n)$ 에 대하여  $P_1 := (p_{11}, p_{12}, \dots, p_{1n})$ 과  $P_2 := (p_{21}, p_{22}, \dots, p_{2n})$ 을 구한다.  

$$p_{11} = w_1, p_{1n} = w_n, p_{1k} = w_k \oplus p_{1, k+1}$$

$$p_{21} = v_1, p_{2n} = v_n, p_{2k} = v_k \oplus p_{2, k-1} (k=2, \dots, n-1)$$

일반적으로 확장  $d$ -정규그래프의 상태는 60/102 NBCA의 크기가 증가함에 따라 꼭지점의 개수에 지수적으로 비례하여 증가한다. 하지만 단지 두 여원벡터  $F_1$ 과  $F_2$ 만을 저장하면 되므로 이 문제는 알고리즘 A에 의해 해결된다. 다음 표5의 알고리즘 B는 알고리즘 A를 이용하여 생성된 일방향함수의 구성 방법을 보여준다. (60/102 NBCA에 의해 생성된  $d$ -정규그래프를 이용한) 일방향함수는 [5]에서 제안된 구성 방법에 기반을 두고 있다.

표 5. 알고리즘 B.  
Table 5. Algorithm B.

알고리즘 B. 60/102 NBCA를 이용한 일방향함수  $H$   
 INPUT :  $l$ 비트 벡터  $x = (x_1, x_2, \dots, x_l)$   
 OUTPUT :  $2^n$ 비트 벡터  $y = (y_1, y_2, \dots, y_{2^n})$ , 단  $y = H(x)$   
 Step1:  $n = \lceil \log_2 l \rceil$  을 계산한다. 단  $n > 3$   
 Step2:  $x' = (x'_1, x'_2, \dots, x'_n) = R \parallel x$   
 단,  $x'_1 = 0, \dots, x'_{2^n-l} = 0, x'_{2^n-l+1} = x_1, x'_{2^n-l+2} = x_2, \dots, x'_n = x_l$  이고  
 $R = (0, \dots, 0)$ 은 길이가  $2^n - l$ 인 벡터이다.  
 Step3:  $(F_1, F_2) \in K$ 인 두  $n$ 비트 벡터  $F_1, F_2$ 를 선택한다.  
 Step4: 알고리즘 A에 의해  $2^n \times d$ 배열  $S = (s_{ij})$ 를 구성한다. 단  $s_{i1}, \dots, s_{id}$ 는 꼭지점  $i$ 의  $d$ 개 이웃 꼭지점들이다. 배열  $S$ 는 다음과 같은 형태이다.  

$$\begin{matrix} s_{11} & s_{12} & \dots & s_{1d} \\ s_{21} & s_{22} & \dots & s_{2d} \\ \vdots & \vdots & \ddots & \vdots \\ s_{2^n-1,1} & s_{2^n-1,2} & \dots & s_{2^n-1,d} \end{matrix}$$
 Step 5:  $y = (y_1, y_2, \dots, y_{2^n})$ 를 계산한다.  
 단,  $y_i = (X(s_{i1}) \wedge X(s_{i2})) \vee (X(s_{i3}) \wedge X(s_{i4})) \vee \dots \vee (X(s_{i,d-1}) \wedge X(s_{id}))$   
 이고  $x'$ 에서  $X(k) = x'_k$ 이다.

<예제 4.7> 주어진 15비트  $x = 100000101111$  ( $= 2095$ )에 대하여 Step1에 의해  $n = \lceil \log_2 15 \rceil = 4$ 이다. 그러므로  $x' = 0000 \parallel 100000101111$ 이다.  $F_1 = (0, 0, 0, 1)^t$ ,  $F_2 = (1, 1, 1, 1)^t$ 라 하자. 그러면 다음과 같이  $2^4 \times 4$  배열  $S = (s_{ij})$ 을 구성할 수 있다.

$$\begin{matrix} 2 & 8 & 14 & 16 \\ 1 & 3 & 11 & 13 \\ \vdots & \vdots & \vdots & \vdots \\ 1 & 7 & 9 & 11 \end{matrix}$$

Step4에 의해

$$y_1 = (X(2) \wedge X(8)) \vee (X(14) \wedge X(16)) = (0 \wedge 0) \vee (1 \wedge 1) = 1,$$

$$y_2 = (X(1) \wedge X(3)) \vee (X(11) \wedge X(13)) = (0 \wedge 0) \vee (1 \wedge 1) = 1, \dots,$$

$$y_{16} = (X(1) \wedge X(7)) \vee (X(9) \wedge X(11)) = (0 \wedge 0) \vee (0 \wedge 1) = 0 \text{ 이다.}$$

그러므로  $y = H(x) = 1101001000010100 (= 53780)$

### V. 결 론

본 논문에서는 group CA인 60/102 NBCA에 기반을 둔 좋은 확장 성질들을 갖는 한 부류의 확장그래프들을 생성하는 방법을 제안했다. 본 논문에서 제안된 방법에 의해 생성된 확장그래프의 성질들은 Mukhopadhyay 등에 의해 생성된 확장그래프의 성질들보다 우수하다. 제안된 확장그래프들은 확장그래프들의 조합적 성질에 기반을 둔 보안성 때문에 효율적인 일방향함수들을 생성하는 데 사용할 수 있다.

### 참고문헌

[ 1 ] M.S. Pinker, On the complexity of a concentrator, In 7th International Teletraffic Conference, 1973.  
 [ 2 ] S. Hoory, N. Lindal, and A. Wigderson, Expander graphs and their applications, Bull. AMS, Vol. 43, pp. 439-561, 2006.

- [ 3 ] D. Peleg and E. Ufpl, Constructing disjoint paths on expander graphs, *Combinatorica*, Vol. 9, pp. 289-313, 1989.
- [ 4 ] M. Sipser and D. Spielman, Expander codes, *IEEE Transactions on Information Theory*, Vol. 42, pp. 1710-1722, 1996.
- [ 5 ] O. Goldreich, Candidate one-way functions based on expander graphs, *Cryptology ePrint Archive*, Report 200/063, pp. 1-9, 2000.
- [ 6 ] W. Diffie and M. Hellman, New directions in cryptography, in *IEEE Transaction on Information Theory*, Vol. 22, pp. 644-654, 1976.
- [ 7 ] S.J. Cho, U.S. Choi, H.D. Kim, and Y.H. Hwang, Analysis of complemented CA derived from linear hybrid group CA, *Computers and Mathematics with Applications*, Vol. 53, pp. 54-63, 2007.
- [ 8 ] P. Pal Chaudhuri, D. Roy Chowdhury, S. Nandi, and S. Chattopadhyay, *Additive Cellular Automata Theory and its Applications Vol. 1*, IEEE Computer Society Press, 1997.
- [ 9 ] S.J. Cho, U.S. Choi, H.D. Kim, Y.H. Hwang, J.G. Kim, and S.H. Heo, New synthesis of one-dimensional 90/150 linear hybrid group cellular automata, *IEEE Transactions on Computer-Aided Design of Integrated Circuits and Systems*, Vol. 26, pp. 1720-1724, 2007.
- [10] M.A. Nielsen, Introduction to expander graphs, [www.ginfo.org/people/nielsen/blog/archive/notes/expander-graphs.pdf](http://www.ginfo.org/people/nielsen/blog/archive/notes/expander-graphs.pdf), 2005.
- [11] J. Cheeger, A lower bound for the smallest eigenvalue of the Laplacian, In *Problems in analysis (Papers dedicated to Solomon Bochner, 1969, pp. 195-199)*, Princeton Univ. Press, Princeton, N.J., 1970.
- [12] D. Mukhopadhyay and D.R. Chowdhury, Generation of expander graphs using cellular automata and its applications to cryptography, *ACRI 2006, LNCS Vol. 4173*, pp. 636-645, 2006.

### 저자소개

김한두(Han-Doo Kim)



1982년 2월 : 고려대학교 수학과 학사

1984년 2월 : 고려대학교 수학과 석사

1988년 2월 : 고려대학교 수학과 박사

1989년 ~ 현재 : 인제대학교 컴퓨터 응용과학부 정교수, 기초과학연구소

※ 관심분야 : 전산수학, 셀룰라 오토마타론

조성진(Sung-Jin Cho)



1979년 2월 : 강원대학교 수학교육과 학사

1981년 2월 : 고려대학교 수학과 석사

1988년 2월 : 고려대학교 수학과 박사

1988년 ~ 현재 : 부경대학교 응용수학과 정교수

※ 관심분야 : 셀룰라 오토마타론, 정보보호, 부호이론

최연숙(Un-Sook Choi)



1992년 2월 : 성균관대학교 산업공학과 학사

2000년 2월 : 부경대학교 응용수학과 석사

2004년 2월 : 부경대학교 응용수학과 박사

2004년 3월 ~ 2006년 2월 : 영산대학교 자유전공학부 단임교수

2006년 3월 ~ 현재 : 동명대학교 자율전공학부 전임강사

※ 관심분야 : 셀룰라 오토마타론, 정보보호, 부호이론